

九州大学 正員 山崎徳也  
○横田 漢

## 1. 緒言

構造物の設計において近来、動荷重の効果がますます重要視されつつあるが、未だ十分に解明されていない問題も多見せられる。本論文はその一分野として弾性基礎上の板を取り上げ、それが走行荷重を受ける場合の動的応答の解説を提示するものである。

なお、弾性基礎は簡便のためにこれを一様なバネが分布した Winkler 支承と見做して取り扱うことを多いが、この仮定を実際の基礎に適用することは脚注があり、本報では弾性基礎を半無限弹性体と考え、運動方程式を用いて厳密解析を行い、また Winkler 支承の妥当性に対する検討も併せて行う。

なお、解析にあたりては次の慣用仮定を用いた。

(i) 板および基礎の振動状態は定常であり、荷重とともに移動する系から見た場合、それらの変形は一定である。

(ii) 荷重の走行速度は基礎における P 波、S 波の伝播速度より小さい。

## 2. 解説

(1) 板の基本式 弾性基礎上の板が荷重  $p(x, y, t)$  を受ける場合、板の振動は周知のごとく次式で表わされる。

$$\nabla^4 w + \frac{\rho h}{N} \cdot \frac{\partial^2 w}{\partial t^2} = \frac{p - g}{N} \quad (1)$$

ただし  $\nabla^4 = \left( \frac{\partial^2}{\partial x^2} + \frac{\partial^2}{\partial y^2} \right)^2$ ,  $N = \frac{E \cdot h^3}{12(1-\nu^2)}$

$\rho$ : 板の密度,  $h$ : 板厚,  $E$ : 板の弾性係数

$\nu$ : 板のポアソン比,  $w$ : 板のたわみ

$g$ : 基礎の反力

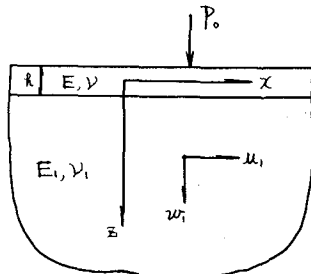


図-1

いま、図-1 に示すごとく、座標  $(x, y, z)$  を導入し、線荷重  $p(x, t)$  が  $x$  の正方向に定速度  $C$  で移動するものと考える。しかしながら、荷重  $p(x, t)$  は  $y$  方向に一様であり、また定常状態という仮定に入り式のは結局次式のごとくなる。

$$\frac{\partial^2 w(r)}{\partial r^2} + \frac{\rho h}{N} \cdot C \cdot \frac{\partial^2 w(r)}{\partial t^2} = \frac{P_0 \delta(r) - g(r)}{N} \quad (2)$$

ただし  $r = x - Ct$ ,  $P_0 \delta(r) = p(r)$ ,  $\delta(r)$ : Dirac's delta function

(2) 弾性基礎 弾性基礎を構成する以下 i) 半無限弹性体, ii) Winkler 支承に別けて解析を進める。

i) 半無限弹性体 半無限弹性体における運動方程式は次式で与えられる。

$$\sigma_{xz} = \frac{\partial u_1}{\partial z} + \frac{\partial \tau_{xz}}{\partial z}, \quad \sigma_{zz} = \frac{\partial^2 w_1}{\partial z^2} + \frac{\partial \sigma_{zz}}{\partial z} \quad (3)$$

他方、変位と応力の関係は固有の式とく次の関係式がある。

$$\sigma_{xz} = \lambda_1 \Delta_1 + 2G_1 \frac{\partial u_1}{\partial z}, \quad \sigma_{zz} = \lambda_1 \Delta_1 + 2G_1 \frac{\partial w_1}{\partial z}, \quad \tau_{xz} = \tau_{zz} = G_1 \left( \frac{\partial w_1}{\partial z} + \frac{\partial u_1}{\partial z} \right) \quad (4)$$

$$\text{ただし } \Delta_1 = \frac{\partial u_1}{\partial z} + \frac{\partial w_1}{\partial z}, \quad \lambda_1 = \frac{E_1 \nu_1}{(1+\nu_1)(1-2\nu_1)}, \quad G_1 = \frac{E_1}{2(1+\nu_1)}$$

いま、変位  $u_1, w_1$  をボテンシャル函数中、 $\psi$  を用いて次式の式とく表わす。

$$u_1 = \frac{\partial \phi}{\partial z} + \frac{\partial \psi}{\partial z}, \quad w_1 = \frac{\partial \phi}{\partial z} - \frac{\partial \psi}{\partial z} \quad (5)$$

式(5)を式(4)に代入すれば次式をうる。

$$\begin{aligned} \sigma_{xz} &= \lambda_1 \nabla^2 \phi + 2G_1 \left( \frac{\partial^2 \phi}{\partial z^2} + \frac{\partial^2 \psi}{\partial z^2} \right), \quad \sigma_{zz} = \lambda_1 \nabla^2 \phi + 2G_1 \left( \frac{\partial^2 \phi}{\partial z^2} - \frac{\partial^2 \psi}{\partial z^2} \right) \\ \tau_{xz} &= \tau_{zz} = G_1 \left( 2 \frac{\partial^2 \phi}{\partial z^2} - \frac{\partial^2 \psi}{\partial z^2} + \frac{\partial^2 \psi}{\partial z^2} \right) \end{aligned} \quad (6)$$

式(5), (6)を式(3)の運動方程式に代入してえられる式は、次の波動方程式を満足する式と見ゆ、 $\psi$  が常に成立する。

$$\frac{\partial^2 \phi}{\partial z^2} = \nabla^2 \phi \quad \beta^2 \frac{\partial^2 \psi}{\partial z^2} = \nabla^2 \psi \quad (7)$$

$$\text{ただし } \beta^2 = C_L^2 / C_T^2, \quad C_L = \sqrt{(\lambda_1 + 2G_1)/\rho_1}, \quad C_T = \sqrt{G_1/\rho_1}, \quad z = C_L t \text{ であり},$$

$C_L, C_T$  はそれぞれ弾性波、S 波の伝播速度である。

以下、式(7)の波動方程式を解くのであるが、これらの式に  $r = x - C_L t = x - \beta z$  を代入すればそれが次式をうる。

$$\frac{\partial^2 \phi}{\partial z^2} + m^2 \frac{\partial^2 \phi}{\partial r^2} = 0, \quad \frac{\partial^2 \psi}{\partial z^2} + n^2 \frac{\partial^2 \psi}{\partial r^2} = 0 \quad (8)$$

$$\text{ただし } m^2 = 1 - \beta_L^2, \quad n^2 = 1 - \beta_T^2, \quad \beta_L = C_L / C_L, \quad \beta_T = C_T / C_T$$

式(8)をフーリエ変換を施せば次式をうる。

$$\frac{\partial^2 \bar{\psi}}{\partial z^2} - m^2 \alpha^2 \bar{\psi} = 0, \quad \frac{\partial^2 \bar{\psi}}{\partial z^2} - n^2 \alpha^2 \bar{\psi} = 0 \quad (9)$$

$$\therefore \bar{\psi} = \int_{-\infty}^{\infty} \phi(r, z) e^{-i\omega r} dr, \quad \bar{\psi} = \int_{-\infty}^{\infty} \psi(r, z) e^{-i\omega r} dr$$

式(9)を解けば

$$\bar{\psi} = \bar{A} e^{im\alpha z} + \bar{B} e^{-im\alpha z}, \quad \bar{\psi} = \bar{C} e^{in\alpha z} + \bar{D} e^{-in\alpha z} \quad \bar{A}, \bar{B}, \bar{C}, \bar{D} : 積分定数$$

$z = \infty$  へとまでは、応力は 0 と考えれば、 $\bar{A} = \bar{C} = 0$  となり、したがって  $\bar{\psi}$  は

$$\bar{\psi} = \bar{B} e^{-im\alpha z} = B e^{-im\alpha(z-\beta_L z)}, \quad \bar{\psi} = \bar{D} e^{-in\alpha z} = D e^{-in\alpha(z-\beta_T z)} \quad (10)$$

一方、式(5), (6)より次式がえられる。

$$\begin{aligned} \bar{w}_1 &= \frac{\partial \bar{\psi}}{\partial z} - i\alpha \bar{\psi}, \quad \bar{\sigma}_{zz}/2G_1 = \lambda_1/2G_1 \cdot (-i\alpha \bar{\psi} + \frac{\partial^2 \bar{\psi}}{\partial z^2}) + \frac{\partial^2 \bar{\psi}}{\partial z^2} - i\alpha \frac{\partial \bar{\psi}}{\partial z} \\ \bar{\tau}_{xz}/G_1 &= 2i\alpha \frac{\partial \bar{\psi}}{\partial z} + \alpha^2 \bar{\psi} + \frac{\partial^2 \bar{\psi}}{\partial z^2} \end{aligned} \quad (11)$$

ただし  $\bar{w}_1, \bar{\sigma}_{zz}, \bar{\tau}_{xz}$  はそれを  $\bar{w}_1, \bar{\sigma}_{zz}, \bar{\tau}_{xz}$  のフーリエ変換である。

式(10)を式(11)に代入すれば  $\bar{w}_1, \bar{\tau}_{xz}, \bar{\sigma}_{zz}$  は次式の内容となる。

$$\bar{w}_1 = -|m\alpha| B e^{-im\alpha(z-\beta_L z)} - i\alpha D e^{-in\alpha(z-\beta_T z)}$$

$$\frac{\bar{G}_{21}}{2\bar{G}_1} = \frac{\lambda_1}{2\bar{G}_1} \left[ -d^2 B e^{-imdl(z-\beta_{12})} + (md)^2 B e^{-imdl(z-\beta_{12})} \right] + (md)^2 B e^{-imdl(z-\beta_{12})} + id \ln dl D e^{-imdl(z-\beta_{12})}$$

$$\frac{\bar{T}_{zxi}}{\bar{G}_1} = -2id \ln dl B e^{-imdl(z-\beta_{12})} + d^2 D e^{-imdl(z-\beta_{12})} + (md)^2 D e^{-imdl(z-\beta_{12})} \quad (42)$$

他方、板の基本式(2)より板のたわみを用いて次式がえられる。

$$W(\alpha) = \frac{P_0 - \bar{F}}{N \bar{H}(\alpha)} \quad , \quad H(\alpha) = d^2 (d^2 - \frac{P_0 h}{N} C^2) \quad (43)$$

$\therefore K$ ,  $W(\alpha)$ ,  $\bar{F}(\alpha)$ はそれぞれ板のたわみ  $W(r)$ , 基礎の反力  $\bar{F}(r)$  のフーリエ変換である。

$\therefore z=2$ , 板と基礎の接触面において次の二つを境界条件を考える。すなはち

$$w_1(r, \beta_{12}) = W(r), \quad G_{21}(r, \beta_{12}) = -\bar{F}(r), \quad T_{zxxL} = 0 \quad (44)$$

式(44)の各境界条件式の两边をフーリエ変換し、式(42), (43)と代入すれば積分定数  $B$ ,  $D$  が次式の二つとく決定される。

$$B = \frac{P_0 h^3}{N \alpha^2} \cdot \frac{2 - \beta_1^2}{\bar{F}(1d1R)}, \quad D = \frac{P_0 h^3 2i|d|}{N \alpha^3} \cdot \frac{\sqrt{1 - \beta_1^2/\beta^2}}{\bar{F}(1d1R)} \quad (45)$$

ただし

$$\bar{F}(1d1R) = \beta_1^2 \sqrt{1 - \beta_1^2/\beta^2} \left\{ |d|^3 h^3 - 6(1-\nu) \frac{g}{\ell} \beta_1^2 |d| h \right\} - 24(1-\nu) g R$$

$$R = (1 - \beta_1^2/2)^2 - \sqrt{1 - \beta_1^2} \sqrt{1 - \beta_1^2/\beta^2}, \quad g = G_1/G, \quad \ell = S_1/S$$

板のたわみ  $W(r)$  は式(43)より

$$W(r) = \frac{1}{2\pi} \int_{-\infty}^{\infty} W(\alpha) e^{i\alpha r} d\alpha = -\frac{1}{2\pi} \int_{-\infty}^{\infty} (|md|B + idD) e^{i\alpha r} d\alpha \quad (46)$$

板の任意点のモーメント  $M(r)$  は

$$M(r) = -N \frac{d^2 w}{dr^2} = -\frac{N}{2\pi} \int_{-\infty}^{\infty} d^2 (|md| + idD) e^{i\alpha r} d\alpha \quad (47)$$

式(45)と式(46)に代入すれば、結局板の任意点におけるモーメントを用いて次式をうる。

$$\frac{M(r)}{P_0 h} = \frac{\beta_1^2 \sqrt{1 - \beta_1^2/\beta^2}}{\pi} \int_{-\infty}^{\infty} \frac{\xi}{\bar{F}(\xi)} \cos(R\xi) d\xi \quad (48)$$

ただし  $\xi = d \cdot R$ ,  $R = r/R$

ii) Winkler 支承 弾性基礎を Winkler 支承と若えれば、式(2)における基礎の反力  $\bar{F}(r)$  は固有の二つとく次式で与えられる。

$$\bar{F}(r) = k \cdot W(r) \quad k: \text{沈下係数}$$

したがって式(43)の  $W(\alpha)$  は次式の内容となる。

$$W(\alpha) = \frac{P_0}{N \bar{H}(\alpha)} \quad , \quad \bar{H}(\alpha) = d^4 - \frac{P_0 h}{N} C^2 d^2 + \frac{k}{N} \quad (49)$$

したがって板のたわみ  $W(r)$  は

$$W(r) = \int_{-\infty}^{\infty} \frac{P_0 e^{i\alpha r}}{2\pi N \bar{H}(\alpha)} d\alpha = \frac{P_0}{\pi N} \int_{-\infty}^{\infty} \frac{\cos(d\alpha r)}{\bar{H}(\alpha)} d\alpha$$

で与えられるから、モーメント  $M(r)$  は

$$M(r) = \frac{P_0}{\pi} \int_0^r \frac{d^2}{dt^2} \cos(dt) dt$$

∴ ここで、次下係数を  $\Phi(\xi)$  とおいて次式を導入する。  $\Phi = a \cdot E_1 \left( \frac{E_1}{2N} \right)^{\frac{1}{2}}$ ,  $a = 0.355957$

したがって、板の任意点におけるモーメントは結局次式のようになります。

$$\frac{M(r)}{P_0 R} = \frac{1}{\pi} \int_0^r \frac{\xi^2}{\Phi(\xi)} \cos(R\xi) d\xi \quad (19)$$

$$\text{ただし } \Phi(\xi) = \xi^4 - 6(1-\nu) \frac{q}{l} \beta_T^2 \xi^2 + a \cdot 12(1-\nu)(1+\nu) q \left[ 6(1-\nu)(1+\nu) \frac{q}{l} \right]^{\frac{1}{2}}$$

### 3. 数値計算および考察

計算例として、いま  $\nu_1 = \nu = 0.25$ ,  $l = 0.694$ ,  $q = 0.125$  の場合における式(19), (19)のモーメントの値を算出すれば図-3に示す結果となる。なお、図-1は式(19)の積分を除いては要数  $\Phi(\xi) = 0$  の根を種々の  $\beta_T$  に対して求め、因示したものである。

図-3より、まず荷重速度が大きい場合 ( $\beta_T = 0.7$ ) には、荷重直下の奥におけるモーメントの値は荷重が静的に作用して時 ( $\beta_T = 0$ ) に比較して、Winkler 支承および半無限弾性体とそれを比較して約 1.20 倍である。

.50 倍ほど大きく、また基礎を Winkler 支承と見なした場合と半無限弾性体と考えた場合の性状は著しく相違してしまってか読み取れる。次に荷重速度が小さい場合 ( $\beta_T = 0.3$ ) には、荷重が静的に作用して時と大差なく、また Winkler 支承と半無限弾性体との性状の差も荷重直下の近傍 ( $R < 1.1$ ) においてはほとんど認められないことなどがわかる。

### 4. 結語

図-2 に見るように  $\Phi(\xi) = 0$  の  $\beta_T = 0.852$  で重根をもつため、式(19)の値はその速度 (critical velocity) で無限大となる。このため高速度の場合には半無限弾性体と Winkler 支承との相違が著しく表われるものと思われる、かかる二つより、Winkler 支承は荷重速度が小さい場合にのみ妥当であると考えられる。

1). 半無限弾性体上の板および Winkler 支承上の板に荷重が静的に作用して場合の荷重直下におけるそれのモーメントが等しくなることをその値であり、例へば Biot, M. A., "Bending of an Infinite Beam on an Elastic Foundation", Journal of App. Mech. Vol. 59, 1937, 参照。

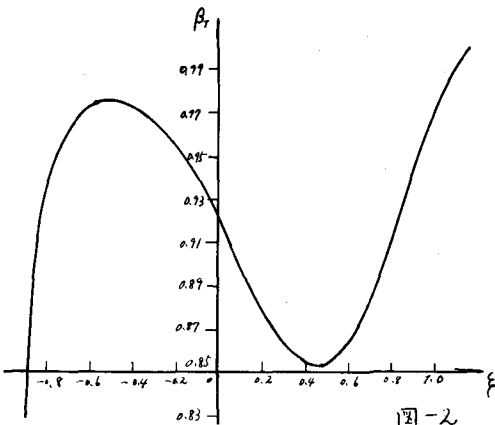
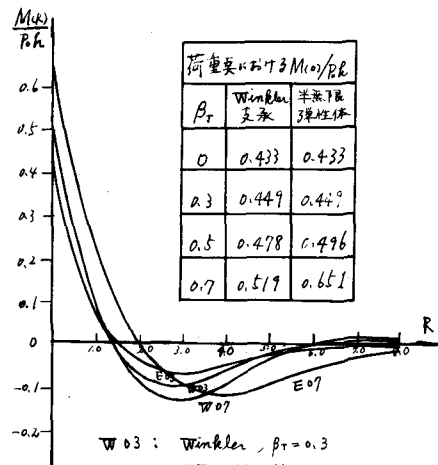


図-2



W₀: Winkler,  $\beta_T = 0.3$

E₀: 半無限弾性体,  $\beta_T = 0.7$

図-3